



تجزیه ژنتیکی-مولکولی ابعاد دانه برنج در جمعیت لاین‌های نوترکیب تلاقی عنبربو × سپیدرود

### با استفاده از نشانگرهای AFLP و SSR

حسین صبوری<sup>۱\*</sup>, احمد رضا دادرس<sup>۲</sup>, عاطفه صبوری<sup>۳</sup>, مهناز کاتوزی<sup>۴</sup>

<sup>۱</sup>دانشیار گروه تولیدات گیاهی، دانشکده کشاورزی و منابع طبیعی، دانشگاه گنبد کاووس

<sup>۲</sup>دانشجوی دکتری اصلاح نباتات، دانشکده کشاورزی، دانشگاه گیلان

<sup>۳</sup>آسستادیار گروه زراعت و اصلاح نباتات، دانشکده کشاورزی، دانشگاه گیلان

<sup>۴</sup>کارشناس ارشد زراعت و دانشجوی کارشناسی ارشد اصلاح نباتات دانشگاه علوم کشاورزی و منابع طبیعی گرگان

تاریخ دریافت: ۱۳۹۱/۱۰/۰۲، تاریخ پذیرش: ۱۳۹۳/۰۳/۰۷

### چکیده

در ایران کیفیت برنج عموماً اهمیت بیشتری نسبت به عملکرد دارد، بنابراین اصلاح ارقام برنج از لحاظ کیفیت جایگاه مهمی را دارا می‌باشد. در پژوهش حاضر به منظور بررسی ساختار ژنتیکی و مکانیابی ژن‌های کنترل کننده خصوصیات ظاهری دانه برنج، از ۹۶ لاین اینبرد نوترکیب (نسل هشتم) حاصل از تلاقی ارقام عنبربو × سپیدرود استفاده شد. برای تشکیل نقشه پیوستگی ابتدا تعداد ۳۶۵ نشانگر ریزماهواره و ۳۵ ترکیب آغازگری AFLP در والدین مورد ارزیابی قرار گرفتند. سپس از ۱۲۴ نشانگر ریزماهواره و ۲۱ ترکیب آغازگری AFLP که ۲۶۳ نوار چندشکل و واضح تولید کرده بودند برای تعیین ژنوتیپ کل افراد جمعیت استفاده شد. نقشه ژنتیکی حاصل با تعداد کل ۳۸۷ نشانگر، ۱۹۵۰/۴ سانتی‌مورگان از ژنوم برنج را پوشش دادند. مکانیابی فاصله‌ای مرکب بر روی صفات کیفی ظاهری برنج، تعداد ۱۳ QTL برای هشت صفت شناسایی نمود. از این تعداد هشت QTL، بیش از ۱۵ درصد از تغییرات صفات موردنظر را توجیه نمودند. برای وزن تک دانه پخته شده، دو QTL، طول و عرض برنج سفید، بترتیب سه و یک QTL، شکل دانه خام و پخته شده به ترتیب دو و سه QTL و برای طول و عرض برنج پخته شده بترتیب سه و یک QTL شناسایی شد. با توجه به پایدار بودن جمعیت مکانیابی مورد استفاده، انتظار می‌رود بتوان با اطمینان بیشتری از QTL‌های شناسایی شده در برنامه‌های انتخاب به کمک نشانگر و مکانیابی دقیق استفاده نمود.

کلمات کلیدی: برنج، ریزماهواره، کیفیت، مکانیابی، AFLP

## مقدمه

$F_2$  حاصل از تلاقی ارقام ایرانی شناسایی و ۱۸ QTL کنترل کننده این صفات را مکانیابی نمود. Lee *et al.*, (2000) توانستند QTL‌های کنترل کننده طول، عرض، نسبت طول به عرض و ضخامت دانه را در لاینهای اینبرد نوترکیب مورد مطالعه قرار دادند و با استفاده از نشانگرهای AFLP و SSR توانستند دو QTL برای عرض دانه روی کروموزوم ۸، چهار QTL برای ضخامت دانه روی کروموزوم‌های ۳، ۷، ۸ و ۱۱ و دو QTL روی کروموزوم‌های ۵ و ۱۰ برای نسبت طول به عرض دانه شناسایی کنند. برای طول دانه هیچ QTLی ردیابی نشد. همچنین Yan *et al.*, (2003) برای طول دانه یک (*qGL*-RM270) در حد فاصل نشانگرهای RM101 روی کروموزوم ۱۲ با میزان توجیه تغییرات فنوتیپی ۱۶/۷ درصد، دو QTL (*qGW-2* و *qGW-3*) روی کروموزوم‌های ۲ و ۳ برای عرض دانه به ترتیب در حد فاصل نشانگرهای RM154-RM211 و RM257-RM175 با میزان توجیه ۱۱/۵ و ۱۶/۶ درصد از تغییرات فنوتیپی و سه QTL (*qLW-2*, *qLW-6* و *qLW-7*)، برای شکل دانه (نسبت طول به عرض دانه) روی کروموزوم‌های ۶ و ۷ به ترتیب با میزان توجیه تغییرات فنوتیپی ۱۲/۷، ۱۱/۵ و ۱۸/۳ درصد شناسایی نمایند. در پژوهش Li *et al.*, (2004) دو QTL (*kl10* و *kl3*) به ترتیب با نشانگرهای RZ251 و RZ421 برای طول دانه روی کروموزوم‌های ۳ و

در اصلاح ارقام برنج، کیفیت دانه همیشه بعد از عملکرد مورد توجه محققان بوده است. در ایران کیفیت برنج عموماً اهمیت بیشتری نسبت به عملکرد داشته و ذائقه ایرانی برنج‌های معطر با طول دانه بلند و عرض دانه کم را ترجیح می‌دهد. با گسترش علم ژنتیک مولکولی، امروزه برای اصلاح صفات پیچیده‌ایی مانند کیفیت از نشانگرهای مولکولی به عنوان ابزار جدیدی برای تکمیل روش‌های اصلاح نباتات کلاسیک استفاده می‌شود تا باعث افزایش کارایی در مکانیابی و نشانمند کردن ژن‌ها شده و امکان بررسی ارتباط ژنتیکی بین گونه‌ها را فراهم آورد. در مکانیابی ژن‌های کنترل کننده صفات کمی، شناسایی QTL‌ها یا جایگاه‌های ژنومی کنترل کننده صفات کمی از جمله صفات مرتبط با کیفیت دانه و برآورده پارامترهای ژنتیکی آنها به بهنژادگر این امکان را می‌دهد تا ارزیابی دقیقی از تک تک ژن‌های کنترل کننده این صفات داشته و روش‌های صحیحی را در اصلاح این صفات به کار گیرد. (Dong, *et al.*, 2004)

مطالعات روی جمعیت‌های برنج ایرانی در زمینه مکانیابی صفات کمی گزارش شده است (Sabouri, *et al.*, 2012) و Sabouri, *et al.*, (2013). اولین پژوهش در زمینه شناسایی QTL در ارقام برنج ایرانی، توسط Rabiei, *et al.*, (2004) انجام شد که QTL‌های کنترل کننده طول، عرض و شکل دانه برنج را در یک جمعیت

QTل های *grb7-1* و *grl7-1* در حد فاصل نشانگرهای RM11 و RM505 و *grb7-2* و *grl-2* در حد فاصل نشانگرهای RM505 و RM2-2 در حد فاصل نشانگرهای RM336 قرار داشتند و یک QTل دیگر برای طول دانه روی کروموزوم ۱ و در حد فاصل نشانگرهای RM104 و RM431 قرار داشت. آنها عنوان کردند که نواحی یکسانی کنترل طول و عرض دانه را بر عهده دارند و احتمالاً QTل های QTL کنترل شکل دانه یا نسبت طول به عرض دانه با QTل های مؤثر بر اجزای تشکیل دهنده آن مطابقت می کند.

به منظور مکان یابی QTل های کنترل ۱۶ صفت زراعی و مرتبط با کیفیت دانه، در پژوهشی (Sabouri *et al.*, 2010) از جمعیت متشکل از ۲۳۶ خانواده *F<sub>2,3</sub>* حاصل از تلاقی ارقام غریب و سپیدرود استفاده کردند. نقشه پیوستگی حاصل از ۱۰۵ نشانگر ریزماهواره، ۱۴۴۰/۷ سانتی مورگان از ژنوم برنج را با فاصله متوسط ۱۳/۷۳ سانتی مورگان بین دو نشانگر مجاور پوشش داد. برای صفات ظاهری دانه به ترتیب سه، یک و دو QTل برای عرض، طول و شکل دانه شناسایی شد. با وجود اینکه تحقیقات زیادی در زمینه مکان یابی QTل های مرتبط با کیفیت دانه صورت گرفته است اما تاکنون گزارشی با استفاده از جمعیت پایدار لاین های اینبرد نوترکیب صورت نگرفته است. لذا در پژوهش حاضر برای نخستین بار از جمعیت لاین های اینبرد نوترکیب عنبربو × سپیدرود برای مکان یابی QTل های مرتبط با ابعاد دانه برنج

۱۰، یک QTل (kw12) با نشانگر RM247 برای عرض دانه روی کروموزوم ۱۲ و یک QTل (ke3) با نشانگر RZ251 برای طویل شدن بعد از پخت دانه ها روی کروموزوم ۳ و دو QTل (ac6) با نشانگرهای RG574 و RG653 و (ac12) با نشانگرهای آمیلوز روی کروموزوم های ۶ و ۱۰ تفرق همزمان نشان دادند.

Zhou *et al.*, (2006) در مطالعه ای اساس ژنتیکی صفات مرتبط با کیفیت دانه برنج از جمله اندازه و شکل دانه برنج را با استفاده از نشانگرهای CAPS و SSR در جمعیت *F<sub>2</sub>* و BC<sub>1</sub>*F<sub>2</sub>* مورد مطالعه قرار دادند و توانستند یک ژن بزرگ اثر کنترل کننده طول دانه به نام LK-4(t) را مکان یابی کنند. آنها این مکان ژنی را با استفاده از نشانگرهای P<sub>1</sub>-EcoRV و P<sub>2</sub>-SacI و P<sub>3</sub>-MboI روی کروموزوم ۳ و نزدیک به سانترومر نشانمند کردند. (t) بین نشانگرهای P<sub>1</sub>-EcoRV و P<sub>2</sub>-SacI و P<sub>3</sub>-MboI با فاصله ژنتیکی ۰/۹ و ۰/۵ سانتی مورگان از دو نشانگر مکان یابی شد. در تحقیقی دیگر Xiao *et al.*, (2006) با استفاده از جمعیت لاین های اینبرد Asominori نوترکیب حاصل از تلاقی بین IR24 (japonica) و (indica) در بررسی بر روی ابعاد دانه در دو محیط، مجموعاً ۱۰ QTل برای طول، عرض و شکل دانه روی کروموزوم های ۱، ۲، ۳، ۵ و ۷ شناسایی کردند که از ۷/۰ تا ۳۶/۶ درصد از تنوع فنوتیپی صفات را توجیه کرد. همچنین Amarawathi *et al.*, (2008) توانستند QTل های کنترل کننده طول، عرض و شکل دانه

### ن Shanگرهاي Rizmaهواره

آغازگرهاي Rizmaهواره مورد استفاده از Chen *et al.*, (2000) و Temnykh *et al.*, (1997) نقشه‌های ژنتیکی ارائه شده توسط McCouch *et al.*, (2002) انتخاب شدند. به منظور تشخیص آغازگرهاي چندشکل، ابتدا واکنش زنجیره‌ای پلیمراز تنها برای DNA والدینی (عنبربو و سپیدرود) برای ۳۶۵ جفت نشانگر انجام شد. از این تعداد ۱۳۶ آغازگر چندشکل تشخیص داده شدند. در مرحله بعد نمونه‌های DNA لاین‌های نوترکیب با استفاده از ۱۲۴ آغازگر چندشکل که نواربندی واضح‌تری داشتند، تکثیر شدند و فرآورده‌های حاصل به منظور تعیین ژنوتیپ افراد الکتروفورز شدند.

### ن Shanگرهاي AFLP

روش AFLP مطابق روش وس و همکاران (Vos *et al.*, 1995) انجام شد. پانصد نانوگرم از DNA ژنومی با پنج واحد از آنزیم‌های محدودگر *EcoRI* و *MseI* به مدت سه ساعت در دمای ۳۷ درجه سانتیگراد مورد هضم قرار گرفتند. در ادامه سازگارسازهای *EcoRI* و *MseI* به مدت دوساعت در دمای ۳۷ درجه سانتیگراد و یک ساعت در دمای ۲۰ درجه سانتیگراد به انتهای DNA برش یافته متصل شدند سپس در مرحله بعد نمونه‌های حاصل از مرحله قبل به نسبت ۱۵:۱ رقیق شدند و با آغازگرهاي *EcoRI*

استفاده شده است. والد عنبربو یکی ارقام بومی و دارای طول، وزن، و شکل دانه کمتر و عرض دانه بیشتر از رقم سپیدرود است که یک رقم اصلاح شده می‌باشد.

### مواد و روش‌ها

#### تهیه جمعیت مکان‌یابی

به منظور بررسی ساختار ژنتیکی ژن‌های کنترل کننده خصوصیات فیزیکی دانه برنج از ۹۶ لاین حاصل از جمعیت لاین‌های نوترکیب نسل هشتم ارقام عنبربو × سپیدرود استفاده شد. توسعه جمعیت برای تهیه تولید رگه‌های نوترکیب در مزرعه پژوهشی دانشگاه گنبد کاووس صورت گرفت.

### استخراج DNA

استخراج DNA ژنومی به روش CTAB تغییر یافته (Saghai Maroof *et al.*, 1994) در آزمایشگاه ژنتیک دانشگاه گنبد کاووس انجام شد. کمیت و کیفیت DNA استخراج شده با کمک ژل آگارز یک درصد تعیین گردید.

#### تهیه نقشه ژنتیکی

برای تهیه نقشه ژنتیکی از نشانگرهاي Map QTX17 AFLP و نرم‌افزار (Manly and Olson, 1999) Manager شد. سپس برای مکان‌یابی صفات به نرم‌افزار 2.5 (Basten *et al.*, 1997) QTL Cartographer منتقل شد.

بوته و از هر بوته ۱۰ دانه سالم به طور تصادفی انتخاب شد و طول و عرض آنها به کمک دستگاه بینوکولار با دقت ۰/۱ میلی‌متر اندازه‌گیری شد. همچنین از تقسیم طول برنج به عرض برنج سفید شکل دانه سفید ثبت شد. برای ثبت طویل شدن و عریض شدن دانه پس از پخت ابتدا دانه‌ها در یک لوله آزمایش ریخته شدند و مقدار ۲۰ میلی‌لیتر آب مقطر به آن افزوده شد. پس از نیم ساعت که دانه‌ها به خوبی خیس خوردند، عمل پخت دانه‌ها انجام شد. به این ترتیب که لوله‌ها به مدت ۱۰ دقیقه در حمام آب گرم ۱۰۰°C قرار داده شد. آنگاه نمونه‌ها از آب خارج شدند و پس از ۵ دقیقه نگهداری در هوای اطاق بوسیله همان دستگاه طول و عرض دانه‌ها ثبت شد. از تقسیم طول برنج پخته به طول برنج خام، نسبت افزایش طول یا طویل شدن دانه بدست آمد و از تقسیم عرض برنج پخته به عرض برنج خام میزان عریض شدن دانه محاسبه شد.

#### تجزیه داده‌ها

بعد از ارزیابی صفات زراعی و صفات کیفی مورد مطالعه، ابتدا آزمون نرمال بودن داده‌ها (آزمون چولگی و کشیدگی) انجام شد و در صورت معنی‌دار بودن آنها، تبدیل داده مناسب انجام شد. پس از اطمینان از نرمال بودن توزیع تمامی داده‌ها، QTL‌های کنترل کننده صفات با استفاده از نرم‌افزار Cartographer QTL نشانگرهای پیوسته با QTL‌های کنترل کننده (Basten *et al.*, 1997) شناسایی شدند. همچنین

و *MseI* واجد یک نوکلئوتید در انتخابی انتهای<sup>۳</sup> با توالی‌های زیر

*MseI* ۵'- آغازگر-

GATGAGTCCTGAGTAAA-3'

*EcoRI* ۵'- آغازگر-

GACTGCGTACCAATTCA-3'

مورد تکثیر پیش انتخابی قرار گرفتند. چرخه‌های حرارتی در این مرحله به تعداد ۳۰ بار و با برنامه ۹۴ درجه سانتیگراد به مدت ۳۰ ثانیه، ۶۰ درجه سانتیگراد به مدت ۳۰ ثانیه، ۷۲ درجه سانتیگراد به مدت ۶۰ ثانیه بود. سپس محصولات حاصل از تکثیر پیش انتخابی به نسبت ۱۰:۱ رقیق شده و با ۲۱ ترکیب (از ۳۵ ترکیب آغازگری) دارای ۲ نوکلئوتید انتخابی در انتهای<sup>۳</sup> (علاوه بر یک نوکلئوتید در پیش تکثیر) تحت چرخه حرارتی Touch down شامل سه مرحله دمایی مختلف تکثیر شدند. فراورده‌های واکنش زنجیره‌ای پلیمراز با استفاده از الکتروفورز ژل پلی‌اکریل آمید و اسرشت‌ساز شش درصد تفکیک و با روش نیترات نقره رنگ آمیزی شدند.

#### اندازه‌گیری صفات برای تعیین فنوتیپ

برای اندازه‌گیری صفات مربوط به کیفیت دانه برنج، ابتدا تمامی دانه‌های هر بوته جداگانه برداشت شد و پس از جداکردن شلتوك از ساقه و خوش، پوست‌کنی شلتوك طی دو مرحله برای تهیه برنج قهوه‌ای و برنج سفید انجام شد. در این فرایند طول، عرض و شکل دانه سفید ثبت شد. برای اندازه‌گیری این دو صفت از هر لاین، ۱۰

LOD بود به عنوان ناحیه با بیشترین احتمال وجود QTL شناسایی شد و از آستانه  $LOD=2/5$  برای شناسایی QTL‌ها استفاده شد. سپس جایگاه دقیق QTL نسبت به نشانگرهای طرفین بر حسب سانتی مورگان تعیین شد.

صفات به همراه اثر ژنتیکی افزایشی و میزان تبیین تغییرات فنوتیپی صفات توسط هر یک از QTL‌های کنترل کننده صفات برآورد شدند. روش‌های آماری تجزیه QTL مکانیابی فاصله‌ای مرکب بود. نقطه‌ای که واحد بالاترین مقدار

جدول ۱- ترکیبات آغازگری استفاده شده در تجزیه AFLP

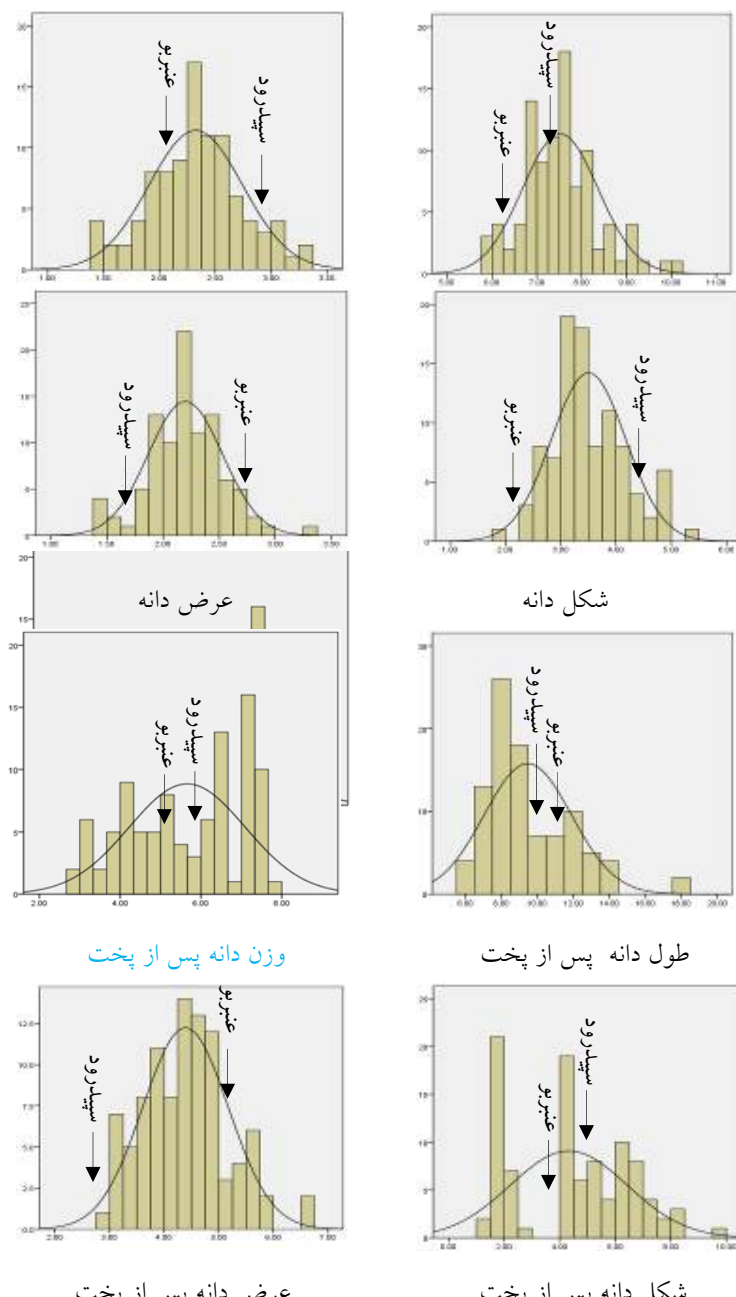
Table 1: Primer combinations used for AFLP analysis

آغازگرهاي EcoRI		آغازگرهاي MseI	
EcoRI Primers	MseI Primers	Name	Name
نام	DNA	نام	DNA
Name	DNA Sequence	Name	DNA Sequence
E060	GACTGCGTACCAATTCAAG	M140	GATGAGTCCTGAGTAAAAC
E070	GACTGCGTACCAATTCAAT	M150	GATGAGTCCTGAGTAAAGA
E080	GACTGCGTACCAATTACCG	M160	GATGAGTCCTGAGTAAAGT
E090	GACTGCGTACCAATTCACT		
E100	GACTGCGTACCAATTCACT		
E110	GACTGCGTACCAATTCACTC		
E120	GACTGCGTACCAATTCAATT		

پيوسته است. جدول ۲ نيز ميانگين صفات مورد بررسى در والدين و لain‌های نوترکيب جمعيت عنبربو × سپيدرود را نشان می‌دهد. همانگونه که مشاهده می‌شود، ميانگين لain‌های اينبرد نوترکيب برای تمامی صفات در حد واسط ميانگين والدين قرار دارند.

## نتایج و بحث

شکل ۱ توزيع فراوانی ارزش‌های فنوتیپی صفات مرتبط با کیفیت مورد مطالعه در لain‌های خالص نوترکيب را بصورت نمودار ستونی (هیستوگرام) همراه با منحنی نرمال و ارزش‌های والدینی نشان می‌دهند. همان‌طور که مشاهده می‌شود، توزيع فنوتیپی صفات به صورت



شکل ۱-نمودار ستونی صفات مورد بررسی در جمعیت عنبربو × سپیدرود و موقعیت والدین روی آنها.

**Figure 1- Histogram of studied traits in Anbarbu×Spidroud population and parent situation**

پس از پخت، طول دانه پس از پخت و طویل شدن دانه رابطه مثبت و معنی‌دار داشت. همبستگی بین طول دانه با کلیه صفات به جز عرض دانه مثبت بود. همبستگی بین طویل شدن دانه با کلیه صفات به جز عرض دانه مثبت بود.

### همبستگی بین صفات

اگرچه مقادیر ضریب همبستگی بین صفات بسیار بالا نبود، اما تعدادی از آنها معنی‌دار برآورد شدند (جدول ۳). این تجزیه نشان داد همبستگی بین وزن دانه با طول دانه، وزن دانه

جدول ۲ - میانگین صفات مورد بررسی در والدین و لاین‌های نوترکیب جمعیت عنبربو × سپیدرود

Table 2: Mean of measured traits for parent and recombinant inbreed lines of Anbarbu × Sepidroud population

	Parent والدین	لاین‌های اینبرد نوترکیب recombinant inbreed lines	
		عنبربو	سپیدرود
	Anbarbu	Sepidroud	
وزن دانه Grain weight	2.2	2.9	2.2
طول دانه Grain lenght	6.1	7.5	6.8
عرض دانه Grain width	2.4	1.6	2.1
شكل دانه Grain shape	2.5	4.7	3.3
وزن دانه پس از پخت Cooked grain weight	5.4	5.9	4.4
طول دانه پس از پخت Cooked grain lenght	11.4	11.2	11.3
عرض دانه پس از پخت Cooked grain width	4.9	2.9	4.6
شكل دانه پس از پخت Cooked grain shape	3.2	4.3	4.2

نقشه پیوستگی حاصل، ۱۹۵۰/۴ سانتی‌مورگان از ژنوم برنج را پوشش داد و فاصله بین نشانگرها به طور متوسط ۵/۰۴ سانتی‌مورگان بدست آمد (شکل ۲). از آنجایی که میانگین فاصله بین دو نشانگر کمتر از ۲۰ سانتی‌مورگان (حد آستانه‌ای Lander & Botstein, 1989) پیشنهاد نمودند، بود از این نقشه برای

### نقشه ژنتیکی

به منظور تهیه نقشه پیوستگی، از ۲۶۳ نشانگر AFLP و ۱۲۴ نشانگر SSR چندشکل که نواریندی کاملاً واضح داشته و از لحاظ آماری با تفرق مندلی مطابقت داشتند، استفاده شد. نشانگرها به دوازده گروه پیوستگی معادل با دوازده کروموزوم برنج متسب شدند. در کل

رديابي شده بيش از ۳۵ درصد تغييرات شكل دانه را توجيه نمودند. در كليه QTL های رديابي شده جهت آلل از والد سپيدرود به طرف افزایش شكل دانه بود. با توجه به نقش شكل دانه در بازار پسندی، می توان دو QTL بزرگ اثر مذکور را به عنوان نشانگر در برنامه های انتخاب به کمک نشانگر مورد توجه قرار داد.

برای صفت وزن دانه پخته شده نيز دو QTL به نام های qGWC-3 و qGWC-6 روی كروموزوم های ۳ و ۶ شناسايی شد که در مجموع ۳۳/۸۰ درصد از تغييرات فنتيپي اين صفت را توجيه کردند. در هر دو QTL آلل های والد عنبربو باعث افزایش وزن دانه پس از پخت شدند. برای صفت عرض دانه پس از پخت تنها يك QTL روی كروموزوم ۲ شناسايی شد که در مجموع بيش از ۳۰ درصد از تغييرات فنتيپي اين صفت را توجيه کردند. اين QTL رديابي شده در حد فاصل نشانگر RM6733-E100M1607 تأثير مثبتی در طول شدن دانه داشت. آلل های والد عنبربو در اين QTL رديابي شده باعث افزایش طول شدن دانه شد. برای طول دانه پس از پخت، سه QTL روی كروموزوم های ۱، ۲ و ۶ شناسايی شد. در همه QTL های رديابي شده به جز QTL موجود روی كروموزوم ۱ آلل های والد عنبربو باعث کاهش طول دانه پس از پخت گردید. سه QTL مذکور در مجموع توانستند بيش از ۳۵ درصد تغييرات مربوط به طول دانه پس از پخت را توجيه نمايند.

مكان يابي QTL استفاده شد. برای تهييه نقشه رژنيکى با استفاده از نرم افزار Map Manager (Manly & Olson, 1999)، ترتيب نشانگر های Chen *et al.*, 1997; Temnykh *et al.*, 2000; McCouch (et al., 2002 مطابقت داشت.

### تجزیه QTL

نتائج تجزیه QTL در مورد صفات كيفيت فيزيکي دانه منجر به شناسايی مجموعاً ۱۳ QTL شد که در جدول ۴ و همچنین شكل ۲ آورده شده است. برای طول دانه سه QTL روی كروموزوم های ۱ و ۲ (دو QTL) شناسايی شد. در همه QTL های رديابي شده آلل های والد عنبربو باعث کاهش طول دانه شدند. سه QTL تشخيص داده شده در مجموع توانستند بيش از ۴۰ درصد تغييرات مربوط به طول دانه را توجيه نمايند. برای صفت عرض دانه تنها يك QTL روی كروموزوم ۱ شناسايی شد که در حدود ۱۰/۱۰ درصد از تغييرات فنتيپي اين صفت را توجيه کرد. اين QTL در حد فاصل نشانگر RM312- EO60M1401 قرار داشت و آلل های والد عنبربو باعث افزایش عرض دانه شد.

همچنین برای شكل دانه دو QTL روی كروموزوم های ۲ و ۱۰ شناسايی شد. در اين تجزیه مشخص شد که QTL روی كروموزوم ۲ با حدود ۲۵/۱۴ درصد توانست درصد بالايی از تغييرات شكل دانه را توجيه نمايد و به عنوان يك QTL بزرگ اثر عمل کند. در مجموع دو QTL

## جدول ۳- ضرایب همبستگی بین صفات مربوط به کیفیت دانه در برنج

Table 3- Correlation coefficients among quality trait in rice

	وزن دانه Grain weight	طول دانه Grain length	عرض دانه Grain width	شكل دانه Grain shape	وزن دانه پس از پخت Cooked grain weight	پخت پخت Cooked grain length	طول دانه پس از پخت Cooked grain width	عرض دانه پس از پخت Cooked grain shape
وزن دانه	1							
طول دانه	0.273*	1						
عرض دانه	0.011	-0.181	1					
شكل دانه	0.030	0.821**	-0.381**	1				
وزن دانه پس از پخت weight	0.712**	0.210	0.108	0.073	1			
طول دانه پس از پخت length	0.310**	0.635**	-0.267*	0.278*	0.198	1		
عرض دانه پس از پخت width	0.417**	0.586**	-0.141	0.322**	0.271*	0.487**	1	
شكل دانه پس از پخت shape	0.040	0.471**	-0.124	0.389**	0.171	0.438**	0.501**	1

برای QTL برای عرض دانه (Lee *et al.*, (2000) دو QTL روی کروموزوم ۸ و دو QTL برای شکل دانه روی کروموزوم‌های ۵ و ۱۰ شناسایی کردند. در پژوهش حاضر نیز یک QTL بر روی کروموزوم یک شناسایی شد. در پژوهشی که توسط Yan *et al.*, (2003) انجام شد، *qGL-12* را در حد فاصل نشانگرهای RM270-RM101 بر روی کروموزم ۱۲ برای طول دانه، *qGW-2* و *qGW-3* بر روی *qLW-6* و *qLW-7* را در حد فاصل نشانگرهای RM154- RM211 و RM257-RM175 برای عرض دانه و سه QTL، *qLW-2*، *qLW-6* و *qLW-7*، روی کروموزوم‌های ۶ و ۷ شناسایی نمودند. در این پژوهش نیز دو QTL بر روی کروموزوم ۲ ردیابی شد که با توجه به جایگاه نشانگرهای احاطه کننده QTL‌ها باید در مجاورت با شناسایی شده توسط Yan *et al.*, (2003) باشد.

برای شکل دانه پس از پخت سه QTL روی کروموزوم‌های ۱، ۶ و ۷ شناسایی شد. در این تجزیه مشخص شد که QTL روی کروموزوم‌های ۱ و ۶ با حدود ۳۴/۴۳ درصد توانستند درصد بالایی از تغییرات شکل دانه پس از پخت را توجیه نمایند و به عنوان QTL‌های بزرگ اثر عمل کنند. در کلیه QTL‌های ردیابی شده جهت آلل از والد سپیدرود به طرف افزایش شکل دانه پس از پخت بود.

برای طول، عرض و شکل دانه در پژوهش‌های مختلف مکان‌های متعددی به عنوان جایگاه‌های مهم در کنترل این صفات معرفی شدند. تجزیه QTL روی طول و عرض دانه در مطالعه Tan *et al.*, (2000) نشان داد که طول و عرض دانه هر یک به وسیله یک QTL بزرگ اثر و یک یا دو QTL کوچک اثر کنترل می‌شوند.

کروموزوم ۱۲ و یک QTL (ke3) با نشانگر RZ251 برای طولی شدن بعد از پخت دانه‌ها روی کروموزوم ۳ تفرق همزمان نشان دادند. هیچ‌کدام از این QTL‌ها در این بررسی شناسایی Govindaraj *et al.*, (2005) نشاندند. در پژوهشی (Fotokian *et al.*, 2006) با استفاده از یک جمعیت در حال تفرق F<sub>2</sub> با استفاده از تلاقی یک رقم با کیفیت بالا حاصل از تلاقی یک رقم با کیفیت پایین و (Basmati370) یک رقم با کیفیت پایین و عملکرد بالا (ASD16)، QTL‌های اصلی کنترل کننده عرض دانه خام و عرض دانه پخته شده را با استفاده از تجزیه تفرق توده و روش آماری تک نشانگری روی کروموزوم‌های ۶ و ۱۲ شناسایی نمودند که به ترتیب با نشانگرهای RM225 و RM247 پیوسته بودند. در بررسی حاضر هیچ منطقه‌ای در کروموزوم ۱۲ برای کنترل صفات مرتبط با کیفیت ظاهری دانه و وزن دانه شناسایی نشد و دلیل آن احتمالاً به متفاوت بودن و تعداد نشانگرهای مورد استفاده و همچنین نوع جمعیت متفاوت باشد. در مطالعه‌ای Fotokian *et al.*, (2006) یک QTL برای طول دانه خام بین نشانگرهای RM23 و RM243 روی کروموزوم ۱ با توجیه فنوتیپی ۴۱ درصد شناسایی کردند. همین ناحیه در پژوهش حاضر در کنترل طول برنج سفید مهم تشخیص داده شد لذا با توجه به نقش قابل توجه آن در چند زمینه‌ی ژنتیکی، می‌تواند در پژوهش‌های مربوط به مکان‌یابی دقیق و همسانه‌سازی بر اساس نقشه، مورد توجه محققین قرار گیرد. همچنین آنها برای طول دانه پخته شده و نسبت طولی شدن دانه، یک QTL پلیوتروپیک

در پژوهشی Rabiei *et al.*, (2004) با استفاده از جمعیت F<sub>2</sub> حاصل از تلاقی ارقام ایرانی گرده و دم سفید و ۸۸ نشانگر SSR، پنج QTL برای طول دانه، هفت QTL برای عرض دانه و شش QTL برای شکل دانه گزارش نمودند. همچنین، برای هر یک از این صفات، حداقل دو QTL بیش از ۱۵ درصد از تغییرات فنوتیپی را توجیه - کردند. در پژوهش آنها دو QTL روی کروموزوم‌های ۵ و ۷ به ترتیب در حد فاصل نشانگرهای RM481-RM289 و RM125 شناسایی شد که کنترل هر سه صفت را بر عهده داشتند. آنها با توجه به نتایج به دست آمده اذعان داشتند که این صفات همبسته به وسیله مکان‌های ژنی یکسانی کنترل می‌شوند و در نقاط مشابه روی کروموزوم‌ها قرار دارند و اثرات پلیوتروپی و یا پیوستگی QTL‌ها باعث به وجود آمدن همبستگی‌های معنی‌دار در بین صفات شده است. نتایج بررسی آنها از لحاظ صفات ظاهری دانه با پژوهش حاضر همخوانی چندانی نداشت که می‌تواند ناشی از عوامل متعددی مانند متفاوت بودن جمعیت مکان‌یابی، والدین مورد استفاده و غیره باشد. در مطالعه Li *et al.*, (2004) با استفاده از جمعیت تلاقی برگشتی پیشرفتی بین گونه‌ای حاصل از تلاقی (O. L. IRGC103544) و (O. glaberrima) به ترتیب V20A sativa با نشانگرهای RZ421 و RZ251 برای طول دانه روی کروموزوم‌های ۳ و ۱۰، یک QTL (kw12) با نشانگر RM247 برای عرض دانه روی

محیط) شناسایی شد. آنها QTL‌هایی را که در هر دو محیط ردیابی شدند به عنوان QTL‌های پایدار معرفی کردند و QTL‌های شناسایی شده روی کروموزوم ۳ برای طول و عرض دانه را مطابق با Huang *et al.*, (1997) دانستند. اما این QTL‌ها با QTL‌های شناسایی شده در این پژوهش همخوانی نداشتند. بررسی دیگری در زمینه مکانیابی صفات فیزیکی Zhang *et al.*, (2007) کیفیت دانه برنج مربوط به است که به منظور مکانیابی QTL‌های صفات مرتبط با کیفیت ظاهری دانه و کیفیت تبدیل برنج، از ۱۶۰ نشانگر ریزماهواره و ۲۳۱ لاین انتروگریسیون تصادفی حاصل از تلاقی ارقام Teqing عنوان والد تکراری و Lemont به عنوان والد بخشنده استفاده نمودند. در کل ۱۰ ناحیه ژنومی بعنوان نواحی مؤثر در این صفات شناسایی شدند که مهمترین آنها یک QTL بزرگ اثر برای شکل دانه روی کروموزوم ۷ و در حد فاصل نشانگرها RM505-RM118 با Redona & Mackill QTL گزارش شده توسط (1998) مطابقت داشت و در این بررسی نیز در مجاورت QTL شناسایی شده بر روی کروموزوم ۷ بود. این QTL نیز می‌تواند به عنوان یک QTL ردیابی شده در چند زمینه ژنتیکی بسیار با ارزش باشد. همچنین در مطالعه‌ای شناختی Zhang *et al.*, (2007) QTL‌های مشترک در جمعیت‌های متعدد نشانده‌نده پایین بودن خطای نوع اول آزمون بوده و این QTL‌ها را برای استفاده در برنامه‌های

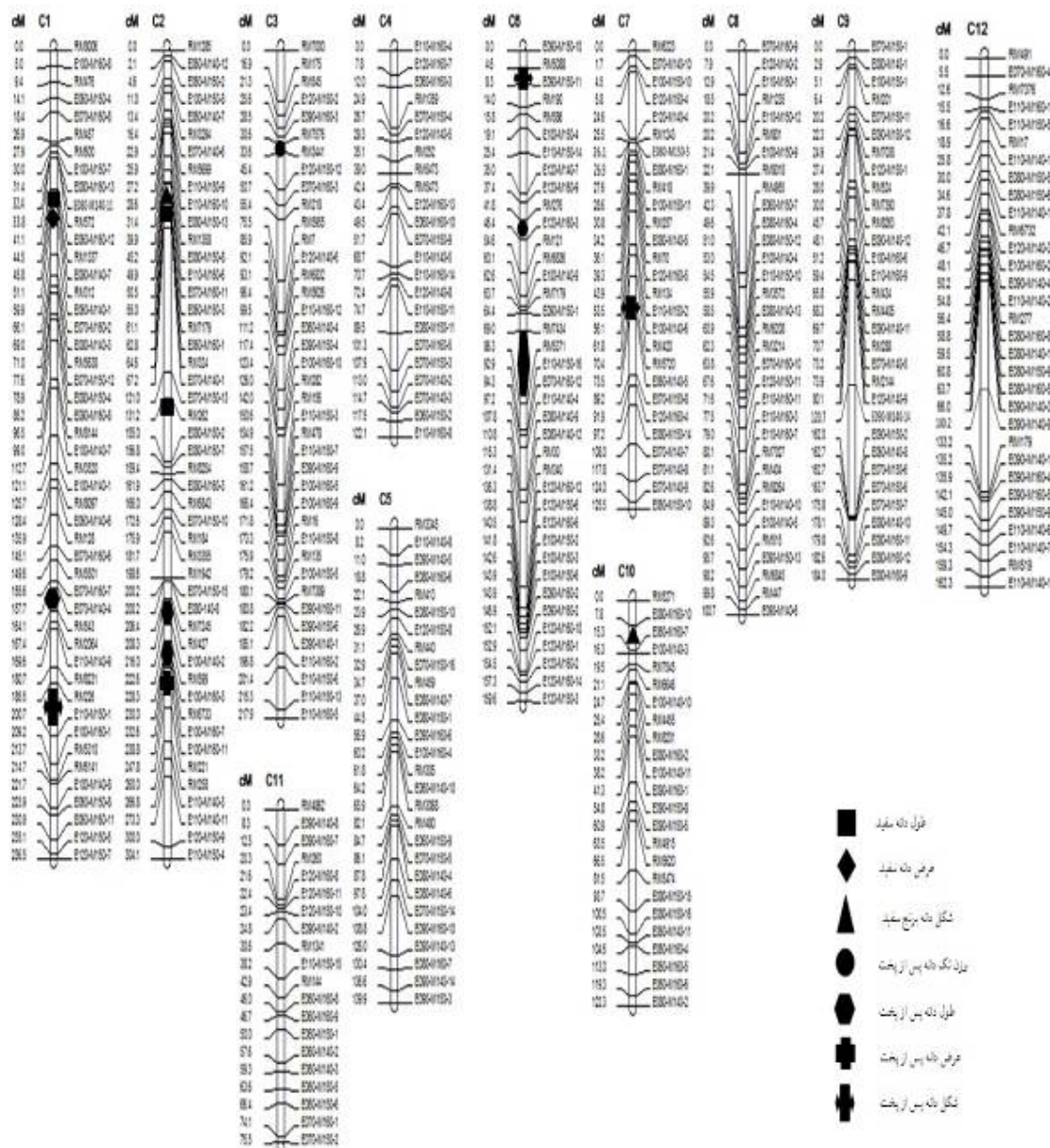
روی کروموزوم ۹ شناسایی کردند. آنها اظهار داشتند وجود همبستگی معنی‌دار بین طول دانه پخته شده و نسبت طویل شدن دانه می‌تواند ناشی از اثر پلیوتروپی QTL مشترک این صفات باشد و این QTL را از نظر اصلاحی با ارزش عنوان کردند که می‌تواند در انتقال ژن یا در هرمی کردن ژن‌ها برای اصلاح کیفیت دانه مورد استفاده قرار گیرد. در عین حال این QTL‌ها در این Saboury *et al.* (2010) برای عرض دانه یک QTL بر روی RM273- کروموزوم ۴ در حدفاصل نشانگرها RM5473 شناسایی کردند که با QTL شناسایی شده توسط Fotokian *et al.*, (2006) مطابقت Fotokian *et al.*, (2006) در مطالعه کامل نداشت. در مطالعه (2006) یک QTL نیز برای شکل دانه خام روی کروموزوم ۴ با توجیه ۱۶ درصد تغییرات فنوتیپی شناسایی کردند. در پژوهشی Xiao *et al.*, (2006) با استفاده از جمعیت لاین‌های اینبرد نوترکیب حاصل از تلاقی بین IR24 (*indica*) و Asominori (*japonica*) در دو محیط بر روی ابعاد دانه مجموعاً ۱۰ QTL برای طول، عرض و شکل دانه روی کروموزوم‌های ۱، ۲، ۳، ۵ و ۷ شناسایی کردند. برای طول دانه پنج QTL (qGL-1, qGL-3, qGL-5-1 و qGL-7) در محیط اول و qGL-3, qGL-5-2 و qGL-7 در محیط دوم)، برای عرض دانه سه QTL (qGW-2, qGW-3 و qGW-5) در محیط اول و qGW-5 در محیط دوم) و برای شکل دانه دو qLWR-5 و qLWR-3) مشترک در هر دو

برای شکل دانه روی کروموزوم‌های ۴، ۷ و ۱۲ شناسایی کردند که QTL شناسایی شده روی کروموزوم ۷ تقریباً با QTL شناسایی شده در این پژوهش مطابقت داشت. همچنین Amarawathi et al., (2008) با استفاده از جمعیت لاین‌های Pusa1121 و Pusa1342، نواحی از کروموزوم ۷ را مؤثرترین منطقه کنترل کننده طول، عرض و شکل دانه عنوان کردند، به طوری که شش QTL از مجموع هفت QTL شناسایی شده برای این سه صفت روی این کروموزوم و در فواصل نشانگری مشابه قرار داشت. در مطالعه آنها QTL‌های کنترل کننده طول، عرض و شکل دانه برج شامل *grl7-1* و *lbr7-1* در حد فاصل نشانگرهای *grb7-1* و *lbr7-2* و *grb7-2* و *RM505* و *RM11* در حد فاصل نشانگرهای *RM505* و *RM336* در قرار داشتند که تقریباً با ناحیه شناسایی شده بر روی کروموزوم ۷ برای شکل دانه، در این بررسی و چند پژوهش دیگر Redona & Mackill 1998; Kwon et al., 2008; Zhang et al., 2004; Fotokian et al., 2006; Kwon et al., 2007) همخوانی داشت. همچنین یک دیگر برای طول دانه روی کروموزوم ۱ و در حد فاصل نشانگرهای *RM431* و *RM104* قرار داشت. باید خاطر نشان کرد که مطالعات مختلف نواحی متفاوتی در کنار نواحی مشترک شناسایی Lee et al., 2000; Yan et al., 2003; Rabiei et al., 2004; Fotokian et al., 2006; Kwon et al., 2008). در پژوهش حاضر نواحی ژنومی یکسانی که کنترل مشترک همه صفات مذکور را عهده‌دار، باشند شناسایار نشد.

بعدی گرینش به کمک نشانگر بسیار با ارزش دانستند. همچنین در بررسی آنها QTL های شناسایی شده برای صفات مربوط به شکل دانه با QTL های مربوط به کیفیت تبدیل همپوشانی بالای داشت و از آنجایی که همبستگی بالایی بین این صفات مشاهده شد، آنها دلیل این امر را پلیوتروپی QTL ها و یا پیوستگی آنها عنوان نمودند. در پژوهشی (Rahman *et al.*, 2007) با استفاده از یک جمعیت  $F_{2:3}$  حاصل از تلاقی یک لاین انتروگرسیون به نام IR71033 (مشتق از گونه وحشی *Oryza minuta*) و رقم کره ای Junambyeo (*japonica*) دانه (*gl3*, *gl7* و *gl9*), دو QTL برای طول شکل دانه (*glw2*, *glw3* و *glw5*) به ترتیب در عرض دانه (*gw2* و *gw5*) و سه QTL برای تغییرات فتوتیپی شناسایی کردند. از این تعداد، سه QTL (*glw5*, *glw3* و *glw2*) به ترتیب در مجاورت نشانگرهای S5033, S3076 و S5041 در بررسی های پیشین گزارش شده بود (Wan *et al.*, 2005; Ge *et al.*, 2005; Zhou *et al.*, 2006). با وجود این نتایج آنها با بررسی و Zhang *et al.*, (2007) Huang *et al.*, (1997) بررسی حاضر همخوانی نداشت. Wan *et al.*, (2005) با استفاده از ۲۳۱ لاین از یک جمعیت لاین های اینبرد نوترکیب حاصل از تلاقی ارقام (*japonica*) Suweon365 (*japonica*) و Chucheongbyeo، دو QTL برای طول دانه روی کروموزوم های ۸ و ۱۲، سه QTL برای عرض دانه روی کروموزوم های ۴، ۷ و ۱۲ و سه

با توجه به اینکه جمعیت مکانیابی مورد استفاده در این پژوهش، جمعیت پایدار لاینهای اینبرد نوترکیب  $F_8$  بود لذا از نتایج حاصل با اطمینان بیشتر می‌توان در برنامه‌های اصلاحی بعدی بهره برد. از سوی دیگر با در نظر گرفتن نتایج پژوهش‌های مختلف و مقایسه آنها با نتایج حاصل از جمعیت مورد استفاده در بررسی حاضر می‌توان دریافت نواحی از زنوم برنج به ویژه بخشی از کروموزوم ۱ و کروموزوم ۷ که به طور مشترک در چندین زمینه ژنتیکی متفاوت نقش قابل توجهی در کنترل ژنتیکی صفات مرتبط با کیفیت ظاهری دانه برنج داشتند می‌توانند برای برنامه‌های انتخاب به کمک نشانگر، مکانیابی دقیق و همسانه‌سازی بر اساس نقشه مدنظر قرار گیرند.

بررسی نتایج پژوهش‌های مختلف مکانیابی صفات فیزیکی کیفیت دانه با استفاده از جمعیت‌ها و شرایط مختلف نشان می‌دهد QTL‌های کنترل کننده این صفات تقریباً روی همه کروموزوم‌های برنج توزیع شده‌اند بنابراین، تعدادی از نتایج حاصل با هم مطابقت دارند و تعداد زیادی از آنها با هم همخوانی ندارند از دلایل عدم مطابقت نتایج پژوهش حاضر با نتایج سایر محققین می‌توان به تعداد و نوع نشانگرهای مورد بررسی، نوع جمعیت، تعداد افراد مورد استفاده در جمعیت، نوع والدین مورد استفاده و شرایط محیطی اشاره کرد. همچنین نوع تلاقی و اینکه جمعیت مورد بررسی حاصل از تلاقی ارقام ایندیکا با ایندیکا، ژاپونیکا با ژاپونیکا و یا ایندیکا با ژاپونیکا باشد روى نتایج تاثیرگذار خواهد بود.



شکل ۲ - نقشه پیوستگی.

Figure 2- Genetic map.

جدول ۴- مجموع QTL‌های شناسایی شده برای کیفیت دانه در جمعیت لاین‌های اینبرد نوترکیب حاصل از تلاقی عنبربو × سپیدرود. a: QTL‌ها با مخفف نام صفت و شماره کروموزوم نامگذاری شدند. b: اثر افزایشی، c: درصدی از کل تغییرات فنتیپی صفت که توسط QTL توجیه می‌گردد. d: جهت اثرات فنتیپی ANB و SPD بترتیب نشانده‌اند عنبربو و سپیدرود می‌باشند.

**Table 4:** Total identified QTL for grain quality in recombinant inbred lines derived from cross between Anbarbu and Spidroud. a: QTLs are named by abbreviations plus chromosomal number. b: additive effect, c: percentage of total phenotypic variance explained by the QTL, d: direction of phenotypic effect, ANB and SPD indicate Anbarbu and Spidroud, respectively.

صفت	QTL	کروموزوم	نشانگرهای احاطه کننده	موقعیت	نقطه اوج	Addative effect	جهت افزایشی	درصد توجیه اثر افزایشی	Explain percentage	Direction
Traits	QTL <sup>a</sup>	Chr.	Flanking markers	Position	Peak LR	A <sup>b</sup>	PEV <sup>c</sup>	Dpe <sup>d</sup>		
طول دانه سفید Grain head rice lenght	qRHL-1	1	EO90M1407-RM312	182.31	18.9	-1.715	13.25	ANB		
	qRHL-2a	2	EO60M1601-RM324	184.65	12.23	-1.345	16.88	ANB		
	qRHL-2b	2	RM262-E0601502	240.35	15.74	-1.014	17.01	ANB		
عرض دانه سفید head rice width Grain	qRHW-1	1	RM312-EO60M1401	197.18	12.27	0.958	11.32	ANB		
شکل دانه Grain shape	qRGSH-2	2	E110M16010- EO80M15013	83.85	13.01	18.178	24.15	SPD		
	qRGSH-10	10	EO60M1607- E100M1403	42.86	15.89	13.624	12.38	SPD		
وزن تک دانه پس از پخت Cooked grain weight	qWGC-3	3	RM7576-RM3441	8.23	16.45	7.714	17.65	ANB		
qWGC-6	6	RM276-E120M1603	1.25	25.26	4.213	15.99	ANB			
طول برنج پس از پخت Cooked grain lenght	qRHLC-1	1	E090M1608-RM543	39.31	19.16	3.471	17.36	SPD		
	qRHLC-2	2	RM427-E100M1402	44.23	15.23	-1.323	12.65	ANB		
	qRHLC-6	6	RM7434-RM5371	19.22	19.08	-2.374	8.91	ANB		
عرض برنج پس از پخت Cooked grain width	qRHWC-2a	2	RM6733-E100M1607	535.12	15.17	1.421	10.08	ANB		
شکل دانه پس از پخت Cooked grain shape	qRGSHC-1	1	RM226-E110M1501	58.12	15.35	19.107	19.37	SPD		
	qRGSHC-6	6	RM5088- E090M15011	11.41	23.71	11.197	17.34	SPD		
	qRGSHC-7	7	RM420-RM5720	17.17	14.61	9.217	7.08	SPD		

## منابع

- Amarawathi Y, Singh R, Singh AK, Singh VP, Mohapatra T, Sharma TR, Singh, NK (2008). Mapping of quantitative trait loci for Basmati quality traits in rice (*Oryza sativa* L.). Molecular Breeding 21: 49-65.  
 Basten CJ, Weir BS, Zeng, ZB (1997). QTL Cartographer: A reference manual and tutorial for QTL mapping: North Carolina State University USA. P. 163.

- Chen X, Temnykh S, Xu Y, Cho YG, McCouch SR (1997). Development of a microsatellite framework map providing genome-wide coverage in rice (*Oryza sativa* L.). *Theoretical and Applied Genetics* 95: 553-567.
- Dong Y, Tsuzuki E, Dongzhi L, Kamiunten H, Terao H, Matsuo M, Cheng S (2004). Molecular genetic mapping of quantitative trait loci for milling quality in rice (*Oryza sativa* L.). *Cereal Science* 40: 109-114.
- Fotokian M, Ghareyazie B, Taleei A (2006). Study of microsatellite markers associated with grain quality in rice (*Oryza sativa* L.). *Agricultural Science* 15:4. 129-140.
- Ge XJ, Xing YZ, Xu, CG He, YQ (2005). QTL analysis of cooked rice grain elongation, volume expansion, and water absorption using a recombinant inbred population. *Plant Breeding* 124: 121-126.
- Govindaraj P, Arumugachamy, S Maheswaran, M (2005). Bulked segregant analysis to detect main effect QTL associated with grain quality parameters in Basmati 370/ASD16 cross in rice (*Oryza sativa* L.) using SSR markers. *Euphytica* 144: 61-68.
- Huang N, Parco A, Mew T, Magpantay G, Mc Couch SR, Guicerdoni E, Xu J, Subudhi P, Angeles, ER Khush, GS (1997). RFLP mapping of isozymes, RAPD and QTLs for grain shape, brown planthopper resistance in a double haploid rice population. *Molecular Breeding* 3: 105-113.
- Kwon SJ, Cho YC, Kwon SW, Oh CS, Shu JP, Shin YS, Kim YG, Holligan D, Wessler SR, Hwang, HG Ahn, SN (2008). QTL mapping of agronomic traits on RIL population derived from a cross between temperate japonica cultivars in rice (*Oryza sativa* L.). *Breeding Science* 58: 271-279.
- Lander ES, Botstein D (1989). Mapping Mendelian factors underlying quantitative traits using RFLP linkage maps. *Genetics* 121: 185-199.
- Lee JH, Cho YS, Jung KH, Song MT, Yong SJ, Kim, HY Choi HC (2000). Molecular genetic analysis of quantitative trait loci related to rice grain quality. Proceedings of the Fourth International Rice Genetic Symposium October 22-27 Losbanos, Philippines, IRRI Pub, 642p.
- Li J, Xiao J, Grandillo S, Jiang L, Wan Y, Deng Q, Yuan, L and McCouch, SR (2004). QTL detection for rice grain quality traits using an interspecific backcross population derived from cultivated Asian (*O. sativa* L.) and African (*O. glaberrima* S.) rice. *Genome* 47: 697-704.
- Manly KF, Olson JM (1999). Overview of QTL mapping software and introduction to Map Manager QT. *Mammalian Genome* 10: 327-334.
- McCouch SR, Teytelman L, Xu YB, Lobos KB, Clare K, Walton M, Fu B, Maghirang R Li, ZK, Xing YZ, Zhang QF, Kono I, Yano M, Fjellstrom R, DeClerck G, Schneider D, Cartinhour S, Ware, D Stein L (2002). Development and mapping of 2240 new SSR markers for rice (*Oryza sativa* L.). *DNA Research* 9: 199-207.
- Rabiei B, Valizadeh M, Ghareyazie B, Moghaddam M Johar Ali A (2004). Identification of QTLs for rice grain size and shape of Iranian cultivars using SSR markers. *Euphytica* 137: 325-332.
- Rahman ML, Chu SH, Choi MS, Qiao YL, Jiang W, Piao R, Khanam S, Cho YI, Jeung JU, Jena, K Koh HJ (2007). Identification of QTLs for some agronomic traits in rice using an introgression line from *Oryza minuta*. *Molecules and Cells* 24: 16-26.
- Redona ED, Mackill DJ (1998). Quantitative trait locus analysis for rice panicle and grain characteristics. *Theoretical and Applied Genetics* 96: 957-963.
- Sabouri A, Toorchi M, Rabiei B, Aharizad, S Moumeni, A, Singh RK (2010). Identification and mapping of QTLs for agronomic traits in indica-indica cross of rice (*Oryza sativa* L.). *Cereal Research Comunication* 38(3)317-326.

- Sabouri H, Mohammadinejad Gh, Sabouri A, Navvabpouri S (2013). Molecular analysis of rice vegetative growth traits. Journal of agriculture Biotechnology. 5(3):67-86.
- Sabouri H, Katouzi M (2014). Detection of chromosomal regions controlling drought osmotic stress in rice. Journal of agriculture Biotechnology. 6(2):91-100.
- Saghi Maroof MA, Biyashev RM, Yang GP, Zhang Q Allard RW (1994). Extraordinarily polymorphic microsatellite DNA in barely: species diversity, chromosomal locations, and population dynamics. Proceeding National Academy of Science USA 91: 5466-5570.
- Tan TF, Xing YZ, Li JX, Xu SB, Xu CG, Zhang Q (2000). Genetic bases of appearance quality of rice grain in Shanyou 63, an elite rice hybrid. Theoretical and Applied Genetics 101: 823-829.
- Temnykh S, Park WD, Ayres N, Cartinhour S, Hauck N, Lipovich L, Cho YG, Ishii T, McCouch SR (2000). Mapping and genome organization of microsatellite sequences in rice (*Oryza sativa* L.). Theoretical and Applied Genetics 100: 697-712.
- Vos, P., Hogers, R., Bleeker, M., Reijans, M., Lee, T. V. D., Horne, M., Frijters, A., Pot, J., Peleman, J., Kuiper, M. and Zabeau, M. (1995). AFLP: a new technique for DNA fingerprinting. Nucleic Acids Research 4407- 4414.
- Wan XY, Wan JM, Weng JF, Jiang L, Bi JC, Wang CM Zhai HQ (2005). Stability of QTLs for rice grain dimension and endosperm chalkiness characteristics across eight environments. Theoretical and Applied Genetics 110: 1334-1346.
- Xiao K, Zuo H, Dong Y, Luo L, Mei H Matsuo M (2006). Genetic mapping of QTLs for grain dimension in rice grown in two asian countries. Asian Journal of Plant Science 5: 516-520.
- Yan CJ, Liang GH, Chen F, Li X, Tang SZ, Yi CD, Tian S, Lu JF Gu MH (2003) Mapping quantitative trait loci associated with rice grain shape based on an *indica/japonica* backcross population. Yi Chuan Xue Bao 30: 711-716.
- Zhang TQ, Xu JL, Li ZK, Zhai HQ, Wan JM (2007). Genomic regions associated with milling quality and grain shape identified in a set of random introgression lines of rice (*Oryza sativa* L.). Plant Breeding 126: 158-163.
- Zhou LQ, Wang YP, Li SG (2006). Genetic analysis and physical mapping of LK-4(t), a major gene controlling length in rice, with a BC<sub>2</sub>F<sub>2</sub> population. Yi Chuan Xue Bao 33: 72-79.

**Molecular-genetic analysis of rice grain dimension in recombinant inbred lines  
of cross of Anbarbu × Sepidroud**

Sabouri H.\*<sup>1</sup>, Dadras A.R.<sup>2</sup>, Sabouri A.<sup>3</sup>, Katouzi M.<sup>4</sup>

<sup>1</sup>Assoc. Prof. Plant Production Department, College of Agriculture Science and Natural Resource, Gonbad Kavous University

<sup>2</sup>PhD student in Plant Breeding, College of Agriculture Science, University of Guilan.

<sup>3</sup>Assist. Prof. Plant Breeding Department, Faculty of Agricultural Sciences, University of Guilan

<sup>4</sup>MSc student in Plant Breeding, College of Agriculture Science, Gorgan University of Agriculture Sciences and Natural Resources.

Generally in Iran rice quality has more importance relative to yield. Therefore, breeding of rice cultivars for quality has priority. In the present study, in order to investigate genetic structure and QTL mapping of physical properties of rice grain were used 96 recombinant inbred lines (F8) of derived from Anbarbu × Sepidroud cross. To construct of linkage map, was performed parental survey using 365 microsatellite markers and 35 AFLP primer combinations. Then, 124 microsatellite markers and 21 AFLP primer combinations produced 263 clear and polymorph bands were used to determine genotype of whole population. The constructed genetic map using 387 markers covered 1950.4 cM of rice genome. Combined interval mapping on rice quality traits identified 13 QTLs for eight traits of which eight QTLs explained more than 15 percent of phenotype variance of given characteristics. There were two QTLs for grain weight and cooked grain weight. For grain length and width three and one QTLs were found, respectively. We found two and three QTLs for grain shape and cooked grain shape and three and one QTLs for cooked grain length and width, respectively. Considering of the stability of the mapping population it is expected that identified QTLs may be used with more confidence in marker assisted selection and fine mapping.

**Keywords:** *AFLP, Mapping, Microsatellite, Rice, Quality.*

---

\* Corresponding Author: Sabouri H.

Tel: 09111438917

Email: hos.sabouri@gmail.com